

地震時における地中応力と地表面加速度の関係

京都大学 防災研究所 正会員 土岐憲三

1. まえがき

地震時において地盤内に発生する応力やひずみを把握することは地震工学上重要な意義を持つと考えられるが、これらの量を直接に測定することはきわめて困難であり、何等かの間接的手法で推定する方法によらざるを得ない。そこで、この研究では地盤の持つ地震波形の遅延機構としての特性に着目すれば、地盤内の加速度、ひずみ、応力などの鉛直方向の分布が地表面で得られた加速度波形の自己相関関数により表現できることを利用し、これをいくつかの強震波形に適用した結果に基づいて、地中応力と地表面加速度との関係について一般性のある関係式を提案した。

2. 加速度とせん断応力の鉛直分布¹⁾

図・1に示すような水平構造の成層地盤において、地盤内を伝播する地震波は弾性波であるとし、その伝播方向は鉛直軸に平行なものとする。

このような場合、地表面からの深さが 50 m 程度までの地盤を対象とすれば、地盤内の任意の深さにおける震動振幅の 2 条平均値は、地盤の構成に関する諸定数と、主要動の継続時間が 5 ~ 6 秒以上であるような地表面での地震記録の自己相関関数だけを表わされる。いま、第 1 層内の弾性波速度を C_1 とし、地表面での加速度記録の自己相関関数を $\phi_s(t)$ とすれば、第 1 層内の地表面からの深さが z である場所での 2 条平均の平方根 (rms) $\sigma_{w_1}(z)$ は次式で表わされる。

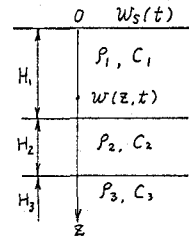
$$\sigma_{w_1}(z) = \frac{1}{\sqrt{2}} \sqrt{\sigma_s^2 + \phi_s(2z/c_1)} \quad \cdots \cdots (1)$$

ここに、 σ_s^2 は地表面での加速度の 2 条平均であり、 $\phi_s(t)$ で与えられる。同様にして、ひずみの rms 値 $\sigma_{\epsilon_1}(z)$ は地表での速度波形の自己相関関数 $\phi_v(t)$ とその 2 条平均値 σ_v^2 により次式で表わされる。

$$\sigma_{\epsilon_1}(z) = \frac{1}{\sqrt{2} C_1} \sqrt{\sigma_v^2 - \phi_v(2z/c_1)} \quad \cdots \cdots (2)$$

第 2 層以下の地盤に対しても同様な結果が得られるが、この手法を表・1 に示した地震記録に対して適用した結果が図・2, 3 であり、地盤構成や各層内の弾性波速度、密度などを表・2 に示した。

八戸、宮古、室蘭での弾性波速度はいずれも推定值であり、それについて 3 種の速度と密度とを仮定した。表・2 に示した地盤条件と図・2, 3 の case 1, 2, 3 に対する結果とを比較検討すると、地盤内の弾性波速度の設定値の変動が加速度、せん断応力の分布に対する影響は小であることがわかる。したがって、地盤内の加速度とせん断応力の分布の推定に際しては弾性波速度に関する



図・1

表・1 対象とした地震記録

Station	Date	Component	Max. acceler. (gal)		Record length (sec.)
			EW	NS	
Ei Castro	May 18, 1940	EW	223	20.0	30.0
		NS	223	20.0	12.0
Tate	July 21, 1952	N-S	158	30.0	30.0
		EW	158	30.0	30.0
Hachioji	May 18, 1958	NS	233	30.0	30.0
Miyake	May 18, 1958	N-S	93	30.0	30.0
Muroran	May 18, 1958	EW	209	30.0	30.0

表・2 地盤の構成

Site	η_1	η_2	First Layer		Second Layer		
			v_p	v_s	ρ	v_p	
Ei Castro	19	360	157	2.0	1,770	84.3	2.08
Tate	12	357	160	2.24	1,100	720	2.30

Site	η_1	η_2	First Layer		Second Layer	
			v_p	v_s	ρ	v_p
Hachioji	10	1	390	1.6	380	2.0
	3	150	150	2.0	330	2.0
	160	1.7			400	2.0
Miyake	10	1	210	1.8	1400	2.3
	3	150	1.8	2.0	1200	2.4
	160	1.7			1000	2.4
Muroran	14	1	210	1.8	1100	2.1
	3	150	1.8	2.0	1000	2.1
	160	1.7			900	2.1

$\eta_1 = v_p/v_s$ and $\eta_2 = \rho/v_p$ (gal/sec. = g/cm³)

では概略の値さえわかれればよし、また、各層の厚さの推定に際しての多少の変動は結果に大きな影響は及ぼさないことが他の計算例により確かめられていふ。しかししながら、ひずみは応力とは弾性波速度の2乗に逆比例する関係にあるから、ひずみ振幅を議論する際には弾性波速度についての十分な検討が必要である。

3. 地中応力と加速度の関係

地盤中に発生するせん断応力は水平加速度と密接な関係にあることは図・2, 3より明らかであるが、一方、式(2)では地中のひずみは地表面での速度の関数として表わされており、 $\dot{\epsilon} = \frac{1}{2} \dot{v}$ 、 σ_v 地中応力も地表面速度に関係することになる。そこで、以下においてこの両者の関係を検討する。

いま、時間関数 $X(\Delta t)$ の自己相關関数を R_X とし、 Δt を微小量として Taylor 展開すれば、

$$R_X(\Delta t) = R_X(0) + \Delta t R'_X(0) + \frac{(\Delta t)^2}{2} R''_X(0) + \dots \quad \cdots \cdots (3)$$

である。しかるに、 $R'_X(0)$ は常に 0 であるから $(\Delta t)^3$ 以上にの項を省略すれば

$$R_X(\Delta t) - R_X(0) \approx \frac{(\Delta t)^2}{2} R''_X(0) \quad \cdots \cdots (4)$$

となる。一方、式(2)中の σ_v^2 は $\phi_v(0)$ で与えられるが、 $2Z/c_1$ の値が小上、場合に ϕ_v に対して上の式(4)を適用すれば次式の関係が得られる。

$$\sigma_v(0) - \sigma_v\left(\frac{2Z}{c_1}\right) \approx -\frac{1}{2} \left(\frac{2Z}{c_1}\right)^2 \phi''_v(0) \quad \cdots \cdots (5)$$

また、遅延時間が 0 での 2 回微分係数 $\phi''_v(0)$ は速度波形を微分したもののが 2 条平均に負号を付した形であらわされる。

$$\phi''_v(0) = -\sigma_s^2 \quad \cdots \cdots (6)$$

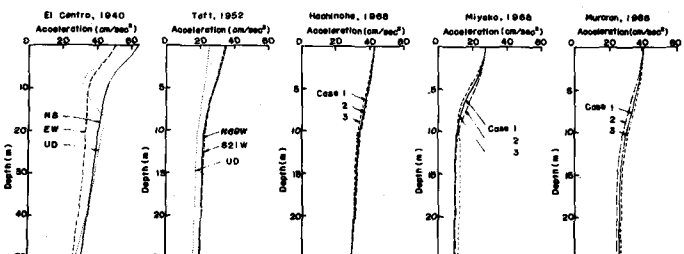
である。これらの関係を式(2)に用いれば、結局次式が得られる。

$$\sigma_{\tau_1}(z) = \frac{Z}{c_1^2} \sigma_s \quad \cdots \cdots (7)$$

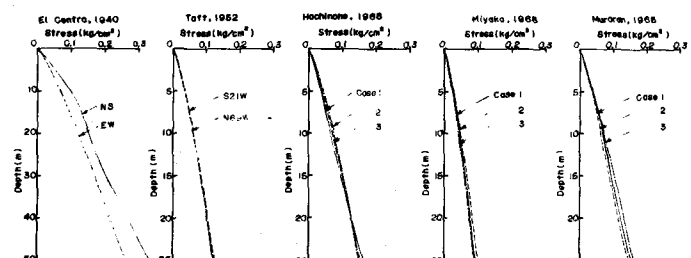
上の式(7)は軸ひずみ、せん断ひずみ以外にても適用可能である。いま、第 1 層内のせん断応力の rms 分布を σ_{τ_1} と表せば、式(7)に $P_1 C_1^2$ を乗じてみると、次式が得られる。

$$\sigma_{\tau_1}(z) = P_1 \sigma_s z \quad \cdots \cdots (8)$$

この式は、地中に下りるせん断応



図・2 加速度の rms 分布



図・3 せん断応力の rms 分布

力の rms 値は地表面での加速度の rms 値と地盤の密度だけから知ることができます。その大きさは地表面からの深さに比例することを示しています。この関係は軸線に直角な方向に一様な加速度で運動する剛性棒におけると同様であるが、これは地表面近くでは深さ方向における変形こう配が小さいことから、地盤はほぼ一様に近い運動をしていきとみなしうることを意味しています。

この関係を検証するために、図・3 に示した地中でのせん断応力の case 1 に対する rms 分布曲線をそれぞれの場合に対応する地表面での加速度の rms 値で除して図示したのが図・4 である。これは地表面での単位加速度振幅あたりの地中でのせん断応力の大きさを表わしている。図中の直線は式(8)中の密度 ρ_1 を $\rho_1 g = 1.8 \text{ gr/cm}^3$ とした場合であり、深さ 10 m 程度までは式(8)がよい近似を与えることばかり。式(8)の表現が許されるのは $2\pi/c_1$ が小さな場合であり、地表面での加速度波形の卓越周期を T_0 とするとき、 $2\pi/c_1$ の値が $T_0/4$ より小さい場合、すなわち区間 $T_0 c_1/8$ 以下の場合は式(8)のおよその適用限界である。それ以上の深さに対してはせん断応力と地表面加速度の比例関係は弱まり、 $2\pi/c_1$ が卓越周期の $1/4$ 程度になれば地中でのせん断応力は地表面加速度に比例するようになります。

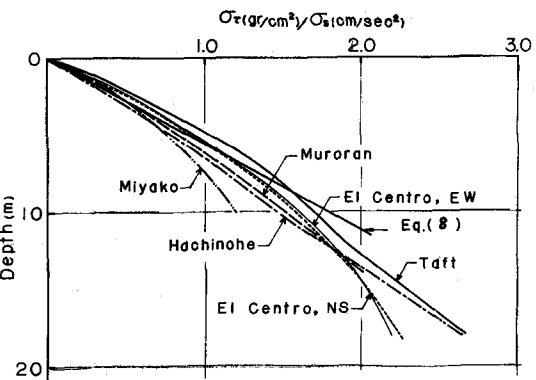
4. 地中せん断応力と地表面加速度の関係の近似表示式

式(8)の関係は地表面近くでは良い近似を与えるが、地表面から離れるにつれ、その近似度は悪くなる。これは、図・2 からも明らかのように加速度分布が深さ方向に一様ではなく、発生するずつずつ、すなわち変形こう配も深いほど大きくなることによるものである。このように、深さによる震動振幅の違いと各地点での密度の相違の影響を除去するためには、図・3 に示したせん断応力の rms 分布曲線を、それが他の場合の対応する深さでの加速度 rms 値で除し、さらに各地盤の密度で割り、2 不しに $\sigma_t(z)$ が図・5 である。この図上では、式(8)の関係は原点を通り、こう配が 45° の直線で表わされるが、図中の曲線はいずれも深さとともにこの直線から離れ、又が $c_1 T_0 / 8$ 程度の深さでは約 10 % ほどの大きな値をとるところから、図中の曲線群に対して次の関係式が一般に成り立つものと考えてよからう。

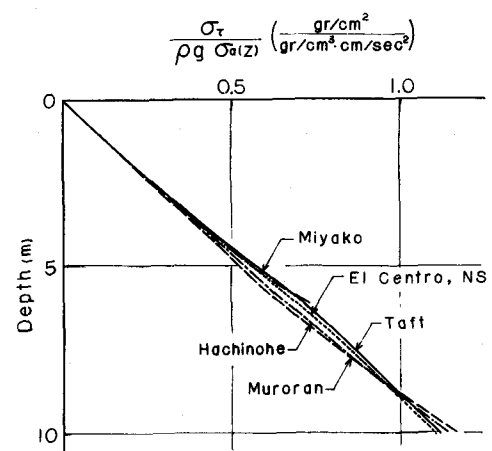
$$\sigma_t(z) = \left(1.0 - \frac{0.8z}{c_1 T_0}\right) \rho g \sigma_a(z) \quad \dots \dots (9)$$

ここに、 $\sigma_a(z)$ は加速度の rms 分布である。

一方、卓越周期が T_0 である地震波形の自己相關関



図・4 せん断応力と地表面加速度の関係



図・5 せん断応力と地中加速度の関係

数は震源時間が $T_0/4$ の付近で関数値が 0 となることから、

$$z/c_1 = T_0/8 \quad \text{では式(2)により } \sigma_{w_r}(z) \text{ は}$$

$$\sigma_{w_r}(z) = \sigma_s / \sqrt{2} \approx 0.7 \sigma_s \quad (10)$$

となるはずである。そこで、図-2 に示した加速度の rms 分布曲線を地表面での rms 値で除した値を各場合ヒキ $z/c_1 = T_0/8$ の深さまで示したのが図-6 である。この図はいずれの曲線も $z/c_1 = T_0/8$ を満足する深さにおける rms 値が地表面での rms 値の約 0.7 倍であることを示しており、上述の関係を裏付けている。そこで、これらの曲線を又 $c_1 T_0/8$ の深さにおける rms 値が地表面での値の 0.7 倍となる直線で近似すれば

$$\sigma_{w_r}(z) = (1.0 - \frac{2.4 z}{c_1 T_0}) \sigma_s \quad (11)$$

となる。この式を加速度分布の一般形と考えれば、これを式(9)中の σ_a と置き換えればよい。この際に、 $z/c_1 T_0$ は $1/8$ 以下の値であることを考慮して $(z/c_1 T_0)^2$ の項を省略すれば次式が得られる。

$$\sigma_r(z) = (1.0 - \frac{1.6 z}{c_1 T_0}) P_1 \sigma_s z \quad (\frac{z}{c_1} < \frac{T_0}{8}) \quad (12)$$

この式によれば、地中でのせん断応力の rms 分布が、地震周期の加速度の rms 値と卓越周期、ならびに当該地盤の密度と横波速度とから推定できる。

以上の検討はすべて rms 値についてであるが、時間曲線に対しても同様な結果が得られるることは次のようにして確かめられる。すなわち、第 1 層内のひずみ曲線 (E, t) および地表面での速度波形を $v_s(t)$ とすれば

$$E(z, t) = \frac{1}{2 c_1} \left\{ v_s(t + \frac{z}{c_1}) - v_s(t - \frac{z}{c_1}) \right\} \quad (13)$$

で表わされる。しかるに、 $w_s(t)$ を地表面での切速度曲線とすれば z/c_1 の値が小さい場合には

$$\frac{v_s(t + z/c_1) - v_s(t - z/c_1)}{2 z/c_1} \approx \frac{d}{dt} v_s(t) = w_s(t) \quad (14)$$

である。これを式(13)に代入すればひずみ曲線 $E(z, t)$ とせん断応力曲線 $E(z, t)$ はそれぞれ

$$E(z, t) = \frac{z}{c_1^2} w_s(t), \quad E(z, t) = P z w_s(t) \quad (15), (16)$$

となる。式(16)は地中のあらゆる深さにおけるせん断応力の時間曲線は直線的に地表面での加速度波形と相似であることを示しており、その近似度は地表面に近いほど高い。式(10)と式(8)の相似性により、上述の rms 値における検討結果は時間曲線なしに最大値に 0.7 乗しておけばよることがわかる。

参考文献

- 1) Toko, K.: Inference of Seismic Ground Motion by Autocovariance Function, Proceedings of the First Canadian Conference on Earthquake Engineering Research, (in printing).

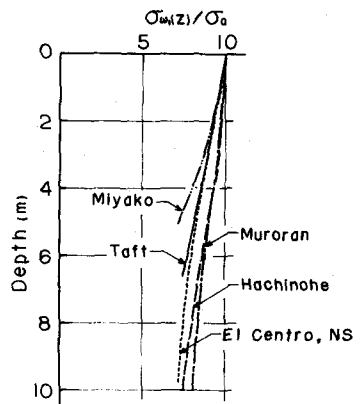


図-6 加速度の rms 分布